

# НЕПРЕРЫВНЫЙ ЭЛЕКТРОННЫЙ ПУЧОК В ОТКРЫТОМ РАЗРЯДЕ

*A.P. Сорокин*

Институт физики полупроводников СО РАН,  
630090, Новосибирск, Россия  
(Поступило в Редакцию 12 октября 1994 г.)

1. Электронно-лучевая технология, занимая видное место среди принципиально новых, является наиболее обширной и интенсивно развивающейся областью применения мощных нерелятивистских электронных пучков непрерывного действия (НЭП) [1]. Применение НЭП для возбуждения лазеров взамен традиционного тлеющего разряда позволило увеличить в ряде случаев их мощность и КПД на порядок [2]. Среди известных способов получения НЭП электронные пушки на основе высоковольтного тлеющего разряда (ВТР) имеют повышенную надежность и позволяют сравнительно просто получать пучки сложного профиля [1].

Один из типов высоковольтного разряда, открытый разряд (ОР), был предложен в [3] в связи с разработкой новых источников накачки для импульсных лазеров. В [4] был отмечен факт существования и НЭП в ОР, а в [5] было положено начало детальным исследованиям непрерывного режима ОР, НЭР которого, в частности [5], использовались для травления монокристаллического кремния. Однако в [5] энергия электронов не превышала 1 кэВ, а мощность  $P$  была  $< 3 \text{ Вт}/\text{см}^2$ .

Предлагаемая работа преследует две цели: привести результаты наших исследований непрерывного ОР при больших энергиях электронов и на два порядка большей  $P$ , чем в [5], а также определить место ОР среди других способов получения НЭП в самостоятельном ВТР. Последнее нам представляется целесообразным сделать, поскольку до сих пор в литературе идет дискуссия о том, к какому типу разряда следует отнести импульсный ОР [6–8], а приводимое ниже рассмотрение в равной мере относится как к непрерывному, так и к импульльному ОР и может помочь использовать результаты давних, хорошо известных исследований при оценке процессов, происходящих в ОР.

2. Самым близким к ОР по физическим процессам, протекающим в нем, является ВТР с полым анодом, наиболее перспективный в использовании для технологических целей [1, 9] и для накачки непрерывных лазеров. В простейшем случае это разряд между плоскими катодом и анодом с отверстием. Размер  $d$  (рис. 1, а) выбирается так, чтобы параметр  $pd$  ( $p$  — давление газа в промежутке) соответствовал левой ветви кривой Пашена, когда электроны находятся в режиме непрерывного ускорения. В таком разряде легко сформировать ленточные НЭП практически неограниченной длины, которым можно придать и иную форму, следует лишь изменить профиль электронов [9]. НЭП в раз-

ряде с полым анодом использовались в [9] для плавки металлов при давлении аргона  $p = 0.1$  Тор и  $P$  до  $200$  Вт/см<sup>2</sup>.

Выполнение условия существования высоковольтного разряда  $pd < (pd)_{\min}$  накладывает ограничение на ширину  $\sim d$  пучка. Увеличить  $d$  можно лишь путем снижения давления. В гелии при 1 Тор  $d$  не превышает 1 см.

ОР — это разряд между сплошным катодом и сетчатым анодом (рис. 1,б). Формально это разряд с полым анодом, точнее, с множеством полых анодов, включенных параллельно. Роль анодов выполняют отдельные ячейки сетки. Здесь условие существования ВТР определяется геометрией отдельной ячейки. Уменьшая межэлектродное расстояние и взяв более мелкую сетку, можно существенно повысить давление и сформировать НЭП нужной геометрии с практически неограниченной апертурой, что значительно расширяет возможности практического использования ОР по сравнению с обычным разрядом в полом аноде.

Другое отличие от разряда с полым анодом — это возрастание в ОР роли фотоэмиссии с катода. Все авторы, занимавшиеся исследованием ОР как импульсного [4,6–8], так и непрерывного [5], отмечают наблюдавшую в опытах значительную или определяющую роль фотоэмиссии с катода электронов, формирующих ЭП. Хотя известно [1], что в других типах ВТР фотоэмиссией пренебрегают и учитывают лишь эмиссию под действием бомбардировки катода ионами и быстрыми атомами.

В ОР (рис. 1,б) электроны  $e$ , покидая определенную ячейку сетки, продолжают за время их движения в дрейфовом пространстве возбуждать атомы  $A$ , которые после высыпания фотонов  $\nu$  вызывают фотоэмиссию не только на участке катода этой ячейки, но и на соседних участках, что и должно при достаточно больших размерах сетки и дрейфового пространства приводить к возрастанию фотоэмиссии на порядки. Ясно, что роль фотоэмиссии может быть значительной для обычного разряда с полым анодом, который является частным случаем ОР и в котором фотоподсветка катода обеспечивается не только фотонами, рожденными в самом разрядном промежутке, но и фотонами из дрейфового пространства. Таким образом, с точки зрения физических процессов, протекающих в ОР, это разряд с полым анодом, но со значительно большим значением фотоэмиссии.

3. В наших экспериментах использовалась сферическая конфигурация электронов с радиусом сферы катода  $R = 50$  мм. Сетчатый электрод с  $R = 49.3$  мм размещался на расстоянии  $d = 0.7$  мм от по-

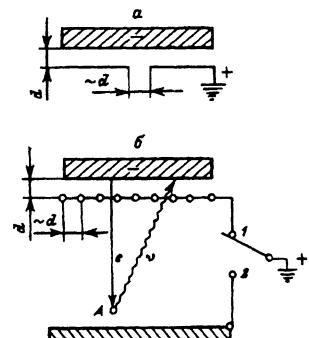


Рис. 1. Планарные конфигурации разрядного промежутка в ВТР с полым анодом (а) и в ОР (б).

верхности стального катода площадью  $33 \text{ см}^2$ . Коллектор из графита помещался в фокусе катода. Катод и коллектор охлаждались проточной водой. Применялись как обычная схема питания, так и трехэлектродная, предложенная ранее для импульсного ОР [10,11]. В последнем случае сетчатый электрод оставляется под свободным потенциалом, а напряжение подается на дополнительный электрод, в нашем случае коллектор (положение 2 переключателя на рис. 1, б). После электрического пробоя промежутка ток разряда переносится электронами пучка и поле между сеткой и дополнительным электродом практически отсутствует (рис. 2). Появление неоднородности разряда в промежутке катод-сетка приводит к перераспределению напряжения, которое сосредоточивается в области сетка-дополнительный электрод. Это ограничивает ток разряда и предохраняет катод от эрозии, а сетку от разрушения. В такой пушке при давлении гелия  $p = 7 \text{ Тор}$  был получен НЭП мощностью до  $1 \text{ кВт}$  с энергией электронов в нем  $6 \text{ кэВ}$  и КПД  $85\%$ . Удельная мощность  $30 \text{ Вт}/\text{см}^2$  ограничивалась началом интенсивного катодного распыления.

В планарной конструкции ( $d = 3 \text{ мм}$ ) с катодом из графита, который подвержен значительно меньшему катодному распылению, получен НЭП  $\sim 100 \text{ Вт}/\text{см}^2$  (рис. 2). Это все же меньше, чем значение  $P \sim 200 \text{ Вт}/\text{см}^2$ , полученное в полом аноде [9]. Заметим, что приведенные выше значения  $P$  получены нами при приемлемом катодном распылении. В принципе мы получали значения  $P$  в несколько сот  $\text{Вт}/\text{см}^2$ . Поэтому можно считать, что у нас и в [9] удельные параметры НЭП примерно одинаковы, поскольку механизм, ограничивающий  $P$ , один и тот же. Существенное отличие в том, что в нашем случае можно работать при более высоком  $p$  и имеются большие возможности выбора апертуры НЭП.

Существует еще один путь увеличения  $P$ . Это применение составных катодов, изготавляемых методами порошковой металлургии, например из  $\text{Al}_2\text{O}_3 + \text{Mo}$  или оксидных катодов [2]. В работе [2] получе-

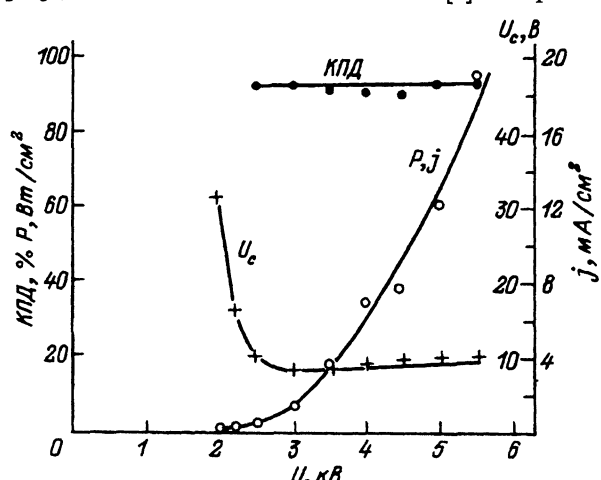


Рис. 2. Зависимости напряжения на сетке  $U_c$  при трехэлектродном питании, мощности  $P$  пучка, тока  $j$  пучка и КПД формирования НЭП от напряжения  $U$ , подаваемого на пушку. Катод из графита, давление гелия 2 Тор.

ны широкоапertureные НЭП диаметром до 70 мм при давлении гелия 2 Тор, но конструкция анода неясна. Нам представляется, что в [2] использовался разряд, подобный ОР.

4. Таким образом, в работе показано, что открытый разряд способен генерировать непрерывные электронные пучки с параметрами, пригодными для их использования в различных областях электронно-лучевой технологии. В отличие от известных способов открытый разряд позволяет формировать пучки заданной геометрии с практически неограниченной апертурой и при значительно больших давлениях.

### Список литературы

- [1] Завьялов М.А., Крейндель Ю.Е., Новиков А.А., Шантурин Л.П. Плазменные процессы в технологических электронных пушках. М.: Энергоатомиздат, 1989. 256 с.
- [2] Rocca J.J., Meyer J.D., Farrell M.R., Collins G.J. // J. Appl. Phys. 1984. Vol. 56. N 3. P. 790–797.
- [3] Боян П.А., Колбычев Г.В. // Письма в ЖТФ. 1980. Т. 6. Вып. 7. С. 418–421.
- [4] Боян П.А., Сорокин А.Р. // ЖТФ. 1985. Т. 55. Вып. 1. С. 88–95.
- [5] Ковалев А.С., Манкелевич Ю.А., Муратова Е.А. и др. // Физика плазмы. 1992. Т. 18. № 18. С. 1076–1083.
- [6] Колбычев Г.В., Пташник И.В. // ЖТФ. 1989. Т. 59. Вып. 9. С. 104–111.
- [7] Клименко К.А., Королев Ю.Д. // ЖТФ. 1990. Т. 60. Вып. 9. С. 138–142.
- [8] Боян П.А. // ЖТФ. 1991. Т. 61. Вып. 6. С. 61–68.
- [9] Isaacs // Electron. Lett. 1968. Vol. 4. N 19. P. 405–406.
- [10] Сорокин А.Р. // Письма в ЖТФ. 1990. Т. 16. Вып. 8. С. 27–30.
- [11] Сорокин А.Р. // Письма в ЖТФ. 1991. Т. 17. Вып. 23. С. 92–94.

01.09

Журнал технической физики, т. 65, в. 5, 1995

© 1995 г.

## ТЕОРИЯ ИНТЕГРАЛЬНОГО УРАВНЕНИЯ ИМПЕДАНСНОГО ВИБРАТОРА

В.Л.Данильчук, С.И.Эминов

Новгородский государственный университет,

173033, Новгород, Россия

(Поступило в Редакцию 12 октября 1994 г.)

Импедансный вибратор изучался в многочисленных работах отечественных и зарубежных исследователей. Однако проблема создания эффективных методов расчета остается актуальной. В данной работе проводится качественный анализ интегрального уравнения и на его основе строится эффективный алгоритм решения интегрального уравнения. Исходное уравнение импедансного вибратора имеет вид

$$E_z(j_z) + E_z^0 = Z j_z, \quad (1)$$

где  $Z$  — поверхностный импеданс;  $j_z$  — плотность тока, наведенного на поверхности вибратора первичным полем  $E_z^0$ .